

ПОДВИЖНОСТЬ 2D-ЭЛЕКТРОНОВ ПРИ ИХ РАССЕЯНИИ НА СВЯЗАННЫХ ПЛАЗМОН-ФОНОННЫХ КОЛЕБАНИЯХ

Касян А. И., Сур И. В., Балмуш И. И.

Выведено кинетическое уравнение, учитывающее в поляризационном приближении динамический характер экранирования электрон-фононного и электрон-электронного взаимодействий. Показано, что в зависимости от принятых приближений в правую часть кинетического уравнения входит интеграл столкновений типа Ленарда—Балеску или сумма интегралов столкновений вида Ленарда—Балеску и Больцмана. Исследован спектр плазмон-фононных колебаний в двумерных структурах на основе GaAs и PbTe. Рассчитана концентрационная зависимость подвижности 2D-электронов, обусловленная рассеянием на этих колебаниях, и показано, что в определенной области концентраций она имеет минимум.

1. Известно, что в полярных полупроводниках взаимодействие плазменных колебаний свободных носителей с продольными оптическими колебаниями кристаллической решетки приводит к образованию новых смешанных плазмон-фононных ветвей спектра. При этом рассеяние носителей происходит на этих ренормированных колебаниях и оно существенно влияет на кинетические свойства [1-4].

Аналогичная ситуация имеет место и в квазидвумерных полярных системах, реализующихся, например, на поверхности полупроводника, в гетероструктурах с квантовыми ямами и т. д. Однако в этих системах исследовался главным образом ренормированный спектр, а влияние экранирования и плазменных колебаний на подвижность носителей — лишь в частных случаях.

В [5] рассчитывалась частота столкновений 2D-электронов с полярными оптическими фононами. Найдено, что учет статической экранировки приводит к ее существенному уменьшению. Такая же задача, но с учетом динамического экранирования рассматривалась в [6]. Показано, что частота столкновений электронов с энергиями, превышающими энергию оптических фононов, значительно увеличивается. В работах [7, 8] рассчитывалась подвижность носителей заряда в квантовых ямах. Однако в этих работах экранирование электрон-фононного взаимодействия осуществлялось при помощи диэлектрической функции одной лишь электронной подсистемы. Поэтому ренормировка колебательного спектра не возникала. Вычисления дали лишь малую поправку к подвижности по сравнению с расчетами, где экранирование вообще не учитывалось.

В настоящей работе проведено исследование спектров связанных плазмон-фононных колебаний в конкретных двумерных структурах и концентрационной зависимости подвижности, обусловленной рассеянием на этих колебаниях.

2. Рассмотрим модельный гамильтониан системы, которая содержит двумерный газ свободных электронов, взаимодействующих с поверхностными оптическими колебаниями и друг с другом на фоне положительного заряда:

$$\mathcal{H} = \sum_{\mathbf{k}} T_{\mathbf{k}} a_{\mathbf{k}}^{\dagger} a_{\mathbf{k}} + \sum_{\mathbf{q}} \hbar \omega_{\mathbf{q}} b_{\mathbf{q}}^{\dagger} b_{\mathbf{q}} + \sum_{\mathbf{q}} A_{\mathbf{q}} u_{\mathbf{q}^{\rho}} + \frac{1}{2S} \sum_{\mathbf{q}} v(\mathbf{q}) \rho_{\mathbf{q}^{\rho}} \rho_{-\mathbf{q}},$$

$$A_{\mathbf{q}}^2 = \frac{2\pi e^2 \hbar \omega_{\mathbf{q}} x}{qS}, \quad x = \frac{1}{\epsilon_{\infty} + 1} - \frac{1}{\epsilon_0 + 1}, \quad v(\mathbf{q}) = \frac{4\pi e^2}{(\epsilon_{\infty} + 1)q}, \quad T_{\mathbf{k}} = \frac{\hbar^2 k^2}{2m} - \xi, \quad (1)$$

где $a_{\mathbf{k}}^{\dagger}$, $a_{\mathbf{k}}$ — операторы рождения и уничтожения поверхностных оптических фононов с квазимпульсом \mathbf{k} и энергией $T_{\mathbf{k}}$ (ξ — химический потенциал), $\rho_{\mathbf{q}} = \sum_{\mathbf{k}} a_{\mathbf{k}}^{\dagger} a_{\mathbf{k}+\mathbf{q}}$; $b_{\mathbf{q}}^{\dagger}$, $b_{\mathbf{q}}$ — операторы рождения и уничтожения поверхностных оптических фононов с частотой $\omega_{\mathbf{q}}$ и волновым вектором \mathbf{q} (\mathbf{k} и \mathbf{q} — двумерные векторы), $u_{\mathbf{q}} = b_{-\mathbf{q}}^{\dagger} + b_{\mathbf{q}}$; ε_0 и ε_{∞} — статическая и высокочастотная диэлектрические проницаемости, S — площадь поверхности кристалла.

Такой гамильтониан может описывать движение носителей в инверсионном слое на поверхности полярного полупроводника. Обратная толщина d^{-1} этого слоя считается значительно больше характерного импульса фононов, участвующих в рассеянии. При выполнении этого неравенства электроны рассеиваются в основном на поверхностных колебаниях решетки [9]. Кроме того, считается, что все они находятся на нижайшем уровне размерного квантования, что позволяет использовать приближение двумерности электронного газа.

3. Для вывода кинетического уравнения был применен метод матрицы плотности в формулировке Ю. Л. Климонтовича [10]. Вывод можно проследить в [4] для трехмерной системы и в [11] для квазидвумерной. Применяя поляризационное приближение, интервал столкновений I можно привести к виду

$$I = \frac{1}{\hbar^2} \int_{-\infty}^{\infty} d\omega \sum_{\mathbf{q}} \left\{ (f_{\mathbf{k}-\mathbf{q}} - f_{\mathbf{k}}) \left\langle \left(A_{\mathbf{q}} \delta u_{\mathbf{q}}^{\dagger} + \frac{v_{\mathbf{q}}}{S} \delta \rho_{\mathbf{q}}^{\dagger} \right) \left(A_{\mathbf{q}} \delta u_{\mathbf{q}} + \frac{v_{\mathbf{q}}}{S} \delta \rho_{\mathbf{q}} \right) \right\rangle_{\omega} + \left[\frac{2\omega_{\mathbf{q}} A_{\mathbf{q}}^2}{\hbar} + \frac{v(\mathbf{q})}{S} (\omega^2 - \omega_{\mathbf{q}}^2) \right] \frac{\hbar D''(\mathbf{q}, \omega)}{|D(\mathbf{q}, \omega)|^2} F_{\mathbf{k}, \mathbf{k}-\mathbf{q}} \right\} \delta(\omega - \omega_{\mathbf{k}, -\mathbf{q}}). \quad (2)$$

Здесь символом $\langle \dots \rangle$ обозначено усреднение с неравновесной матрицей плотности системы, находящейся в постоянном внешнем электрическом поле, индекс ω у знака $\langle \dots \rangle$ означает спектральную плотность соответствующего коррелятора флуктуаций; $\delta u_{\mathbf{q}} = u_{\mathbf{q}} - \langle u_{\mathbf{q}} \rangle$, $f_{\mathbf{k}}$ — неравновесная функция распределения.

Функция $D(\mathbf{q}, \omega)$ связана с полной комплексной диэлектрической проницаемостью системы $\varepsilon(\mathbf{q}, \omega)$ соотношением

$$D(\mathbf{q}, \omega) = \frac{2}{\varepsilon_{\infty} + 1} (\omega^2 - \omega_l^2) \varepsilon(\mathbf{q}, \omega) \equiv D'(\mathbf{q}, \omega) + iD''(\mathbf{q}, \omega), \quad (3)$$

$$\varepsilon(\mathbf{q}, \omega) = \varepsilon_{\text{реш}}(\mathbf{q}, \omega) + \varepsilon_e(\mathbf{q}, \omega) - 1. \quad (4)$$

Здесь $\varepsilon_{\text{реш}}$ — вклад решетки в диэлектрическую проницаемость системы:

$$\varepsilon_{\text{реш}} = \frac{\varepsilon_{\infty} + 1}{2} \frac{\omega^2 - \omega_0^2 + i\omega\eta}{\omega^2 - \omega_l^2 + i\omega\eta}, \quad \omega_l^2 = \frac{\varepsilon_{\infty} + 1}{\varepsilon_0 + 1} \omega_0^2, \quad \eta \rightarrow +0, \quad (5)$$

$\varepsilon_e(\mathbf{q}, \omega)$ — диэлектрическая проницаемость двумерного электронного газа,

$$\varepsilon_e(\mathbf{q}, \omega) = 1 - \frac{2\pi e^2}{q} \Pi(\mathbf{q}, \omega), \quad (6)$$

$$\Pi(\mathbf{q}, \omega) = \frac{2}{S} \sum_{\mathbf{k}} \frac{f_{\mathbf{k}-\mathbf{q}} - f_{\mathbf{k}}}{\hbar(\omega - \omega_{\mathbf{k}, -\mathbf{q}} + i\eta)}, \quad (7)$$

$\Pi(\mathbf{q}, \omega)$ — поляризационный оператор в приближении случайных фаз.

Кроме того, в (2) использованы обозначения

$$F_{\mathbf{k}, \mathbf{k}-\mathbf{q}} = f_{\mathbf{k}}(1 - f_{\mathbf{k}-\mathbf{q}}) + f_{\mathbf{k}-\mathbf{q}}(1 - f_{\mathbf{k}}); \quad \hbar\omega_{\mathbf{k}, -\mathbf{q}} = T_{\mathbf{k}-\mathbf{q}} - T_{\mathbf{k}}.$$

Функции $f_{\mathbf{k}}$, $D(\mathbf{q}, \omega)$ и корреляционные функции, входящие в (2), являются в общем случае неравновесными. В приближении случайных фаз получаем

$$\langle \delta u_{\mathbf{q}}^{\dagger} \delta u_{\mathbf{q}} \rangle_{\omega} = \frac{4\pi e^2 A_{\mathbf{q}}^2}{\hbar^2 |D(\mathbf{q}, \omega)|^2} \sum_{\mathbf{k}'} F_{\mathbf{k}', \mathbf{k}'-\mathbf{q}} \delta(\omega - \omega_{\mathbf{k}', -\mathbf{q}}),$$

$$\langle \delta \rho_{\mathbf{q}}^+ \delta \rho_{\mathbf{q}} \rangle_{\omega} = \frac{\pi (\omega^2 - \omega_{\mathbf{q}})^2}{|D(\mathbf{q}, \omega)|^2} \sum_{\mathbf{k}'} F_{\mathbf{k}', \mathbf{k}' - \mathbf{q}} \delta(\omega - \omega_{\mathbf{k}' - \mathbf{q}}), \quad (8)$$

$$\langle \delta u_{\mathbf{q}}^+ \delta \rho_{\mathbf{q}} \rangle_{\omega} = \frac{2\pi \omega_{\mathbf{q}} A_{\mathbf{q}}^2 (\omega^2 - \omega_{\mathbf{q}}^2)}{\hbar |D(\mathbf{q}, \omega)|^2} \sum_{\mathbf{k}'} F_{\mathbf{k}', \mathbf{k}' - \mathbf{q}} \delta(\omega - \omega_{\mathbf{k}' - \mathbf{q}}).$$

Подставив эти выражения в (2), интеграл столкновений приводим к виду

$$I = \frac{2\pi}{\hbar S^2} \sum_{\mathbf{k}', \mathbf{q}} |V_{\text{eff}}|^2 \{ f_{\mathbf{k}-\mathbf{q}} f_{\mathbf{k}'} (1 - f_{\mathbf{k}}) (1 - f_{\mathbf{k}' - \mathbf{q}}) - f_{\mathbf{k}} f_{\mathbf{k}' - \mathbf{q}} (1 - f_{\mathbf{k}-\mathbf{q}}) (1 - f_{\mathbf{k}'}) \} \times \\ \times \delta(\omega_{\mathbf{k}, -\mathbf{q}} - \omega_{\mathbf{k}', -\mathbf{q}}), \quad (9)$$

где

$$V_{\text{eff}} = \frac{2\pi e^2}{\varepsilon(q, \omega_{\mathbf{k}, -\mathbf{q}}) q}.$$

Видно, что (9) имеет вид интеграла электрон-электронных столкновений для двумерного газа носителей в форме Ленарда—Балеску с динамически экранированным взаимодействием V_{eff} , которое включает в себя как прямое кулоновское взаимодействие, так и взаимодействие за счет обмена фононами. Непосредственно можно показать, что (как и в случае статического экранирования) нормальные электрон-электронные процессы рассеяния [12] в обычном приближении не вносят вклада в проводимость: интеграл столкновений (9) не войдет в уравнение баланса числа частиц, импульса и энергии.

4. Положим, что фононная подсистема находится в равновесии (например, за счет взаимодействия с термостатом) и перестроим (2), выделив отдельно слагаемые, пропорциональные $A_{\mathbf{q}}^2$. Они определяют интеграл столкновений $I_{e\text{-ph}}$ электронов с ренормированными фононами. Пренебрежем влиянием слабого поля на диэлектрическую проницаемость системы и на этом основании заменим функцию $D(\mathbf{q}, \omega)$ на равновесную. Тогда, воспользовавшись для нахождения коррелятора $\langle \delta u_{\mathbf{q}}^+ \delta u_{\mathbf{q}} \rangle_{\omega}$ флуктуационно-диссипативной теоремой, интеграл столкновений $I_{e\text{-ph}}$ приведем к виду

$$I_{e\text{-ph}} = \sum_{\mathbf{q}} [W_{\mathbf{k}, \mathbf{k}-\mathbf{q}} f_{\mathbf{k}-\mathbf{q}} (1 - f_{\mathbf{k}}) - W_{\mathbf{k}-\mathbf{q}, \mathbf{k}} f_{\mathbf{k}} (1 - f_{\mathbf{k}-\mathbf{q}})], \quad (10)$$

где $W_{\mathbf{k}, \mathbf{k}-\mathbf{q}}$ есть вероятность рассеяния электрона из состояния с квазиимпульсом $\mathbf{k}-\mathbf{q}$ в состояние \mathbf{k} , вычисленная с учетом динамического экранирования в поляризованном приближении:

$$W_{\mathbf{k}, \mathbf{k}-\mathbf{q}} = \frac{4A_{\mathbf{q}}^2 \omega_0}{\hbar^2} \int_{-\infty}^{\infty} d\omega \frac{\omega_0^2 - \omega^2}{[\omega^2 - \omega_p^2]} N(\omega) \text{Im} \frac{1}{D(\mathbf{q}, \omega)} \delta(\omega - \omega_{\mathbf{k}, -\mathbf{q}}), \quad (11)$$

$N(\omega)$ — функция распределения Бозе—Эйнштейна.

Таким образом, I представляется в виде суммы интеграла столкновений типа Больцмана $I_{e\text{-ph}}$ и интеграла столкновений типа Ленарда—Балеску [оставшиеся слагаемые в (2)]. Последний, однако, не будет давать вклада в проводимость системы в обычном приближении.

Нули полной диэлектрической функции $D(\mathbf{q}, \omega)$ определяют ренормированные частоты и затухания связанных плазмон-фононных колебаний. В длинноволновом пределе ($q \rightarrow 0$) имеются три решения уравнения $D(\mathbf{q}, \omega) = 0$:

$$\omega_{\pm}^2 = \frac{1}{2} (\omega_0^2 + \omega_p^2 \pm [(\omega_0^2 + \omega_p^2)^2 - 4\omega_p^2 \omega_0^2]^{1/2}), \quad \omega_p^2 = \frac{4\pi n e^2}{(\varepsilon_{\infty} + 1) m} q, \quad [\omega_{\text{ак}} = vq, \quad (12)$$

где v есть фермиевская скорость v_F для вырожденного газа, или $v = (k_0 T / m)^{1/2}$ для невырожденного газа носителей. «Акустическая ветвь» $\omega_{\text{ак}}$ попадает в область сильного затухания и в спектре не проявляется. На рис. 1, а, б представлены спектры связанных плазмон-фононных колебаний $\omega_{\pm}(\mathbf{q})$ на поверхности кристаллов GaAs и PbTe, вычисленные при различных концентрациях

n . Пунктиром обозначены области q , для которых затухания больше чем на одну треть превышают соответствующие частоты. В случае сильного вырожде-

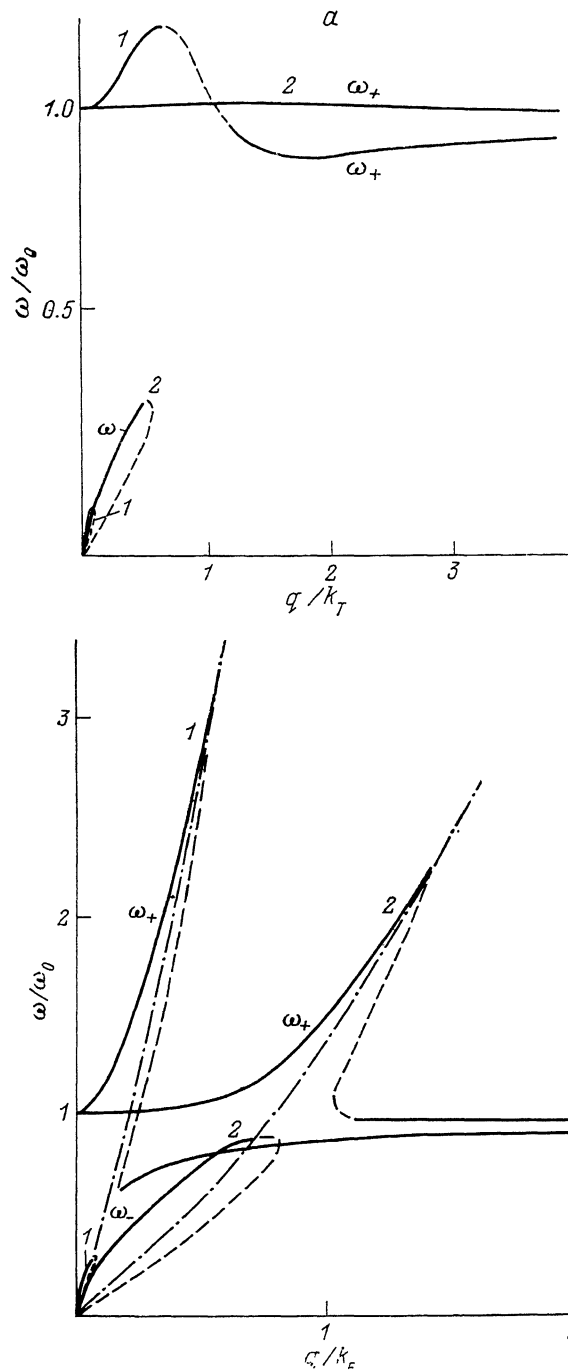


Рис. 1. Дисперсионные кривые поверхностных плазмон-фононных колебаний в случаях невырожденного (а) и вырожденного (б) электронного газа.

1 — РbTe, 2 — GaAs. а) $T=77$ К, $n=10^{11}$ см $^{-2}$; б) $T=0$ К, $n=5 \cdot 10^{11}$ см $^{-2}$. Штриховые линии определяют границы затухания Ландау.

ния видны области, где спектр близок к линейному (верхние кривые). Эта часть спектра аналогична нулевому звуку в плазме. С повышением концентрации, когда в этой области начинают выполняться условия квазиклассичности ($q \ll k_F$, $\hbar\omega \ll \epsilon_F$), этот участок расширяется. При $T=0$ затухание этой

ветви равно нулю, так как в системе нет носителей, движущихся со скоростями, превышающими v_F . При больших q остается одна лишь фонон-подобная ветвь $\omega_+(q)$.

5. Линеаризуем кинетическое уравнение с помощью подстановки $f_{\mathbf{k}} = f_{\mathbf{k}}^0 + \frac{1}{k_B T} \Phi_{\mathbf{k}} f_{\mathbf{k}}^0 (1 - f_{\mathbf{k}}^0)$ и решаем его вариационным методом, используя в качестве пробной функции $\Phi_{\mathbf{k}} = \alpha v_{\mathbf{k}E}$, где $v_{\mathbf{k}E}$ — проекция скорости электрона с квазиимпульсом \mathbf{k} на направление электрического поля \mathbf{E} , $f_{\mathbf{k}}^0$ — равновесная функция распределения, α — произвольный параметр. Тогда для подвижности μ получаем выражение

$$\mu = \frac{e}{k_B T n} \frac{N}{S}, \quad (13)$$

где N не зависит от механизма рассеяния: $N = \left[\sum_{\mathbf{k}} v_{\mathbf{k}E} f_{\mathbf{k}}^0 (1 - f_{\mathbf{k}}^0) \right]^2$,

$$S = \frac{1}{4\pi} \sum_{\mathbf{q}} A_4^2 \omega_0 v_{\mathbf{k}E}^2 \int_0^{\infty} \frac{d\omega}{s \hbar^2 \left(\frac{\hbar \omega}{2k_0 T} \right)} \frac{\omega_0^2 - \omega_T^2}{\omega^2 - \omega_T^2} \text{Im} \Pi(\mathbf{q}, \omega) \ln \frac{1}{D(\mathbf{q}, \omega)}. \quad (14)$$

Выполнение законов сохранения энергии и импульса при рассеянии, а также малость отклонения электронной подсистемы от равновесия приводят к тому, что в случае сильного вырождения газа носителей интегрирование в (14) ведется по области затухания Ландау.

В невырожденном случае интегрирование ведется по всему фазовому пространству (\mathbf{q}, ω) . Однако области $q \ll \omega \sqrt{\frac{m}{2k_B T}}$ и $q \gg \frac{1}{\hbar} \sqrt{8mk_0 T}$, в которых $\text{Im} \Pi(\mathbf{q}, \omega)$ экспоненциально убывает, дают малый вклад.

Для аналитического вычисления подвижности учтем, что подынтегральное выражение в (14) имеет резкий пик на фонон-подобной части ветви $\omega_+(\mathbf{q})$ в области, где $q \sim [2m\omega_+(q)/\hbar]^{1/2}$. Оценки, проведенные на примере GaAs и PbTe, показывают, что затухание частот этой ветви мало и можно воспользоваться соотношением $\text{Im} 1/D(\mathbf{q}, \omega) = \pi \delta[\text{Re} D(\mathbf{q}, \omega)]$. Отметим, что рассеяние на плазмон-подобных колебаниях ω_- и на низкочастотной части ветви $\omega_+(\mathbf{q})$ дает малый вклад в подвижность из-за экспоненциальной малости в этой области множителя $\text{Im} \Pi(\mathbf{q}, \omega)$ в (14). Тогда при $\hbar \omega_0 > 2k_0 T$ в линейном по концентрации приближении для подвижности получим выражение

$$\mu = \mu_0 \left\{ 1 - \frac{2\pi n e^2 \chi}{k_B T} \left(\frac{\hbar}{2m\omega_0} \right)^2 \left[\frac{\hbar \omega_0}{k_B T} + 1 \right] \right\}, \quad (15)$$

где μ_0 — подвижность носителей в одноэлектронном приближении, обусловленная их рассеянием на затравочных оптических фононах:

$$\mu_0 = \frac{\hbar^{1/2} k_B T}{2\sqrt{2} \pi e \chi \omega_0^2 m^3/2 N(\omega_0)}. \quad (16)$$

Первая поправка к μ_0 связана с усилением электрон-фононного взаимодействия (антиэкранирование). Вторая — с уменьшением частоты $\omega_+(q)$ по сравнению с ω_0 в существенной для процессов рассеяния области фазового пространства, что также приводит к уменьшению подвижности из-за возрастания эффективного числа фононов.

На рис. 2 приведены результаты численного расчета концентрационной зависимости μ для кристаллов GaAs и PbTe при $T = 77$ К. В невырожденном случае ($n < n_0$) подвижность уменьшается с ростом концентрации. Сравнение кривых 2 и 2'', рассчитанных по точной (13) и приближенной (15) формулам соответственно, показывает, что (15) переоценивает концентрационную зависимость μ .

В вырожденном случае ($n > n_0$) подвижность с ростом концентрации растет за счет ослабления эффективной связи с фонон-подобной частью ветви $\omega_+(\mathbf{q})$.

При этом в предельных случаях малых ($n \ll n_0$) и больших ($n \gg n_0$) концентраций для μ получаются известные результаты.

В области промежуточных значений n , когда ренормировки фонон-подобной и плазмон-подобной ветвей спектра охватывают наибольшую область фазового пространства (\mathbf{q} , ω), существенную для процессов рассеяния носителей, подвижность должна пройти через минимум. Однако критерии применимости теории не позволяют непрерывным образом охватить всю область изменения n .

Таким образом, изменение μ по сравнению с μ_0 (из-за учета динамического экранирования) наиболее значительно вблизи концентрации $n \sim n_0 = 10^{11} \text{ см}^{-2}$. Критерии, при которых преоб-

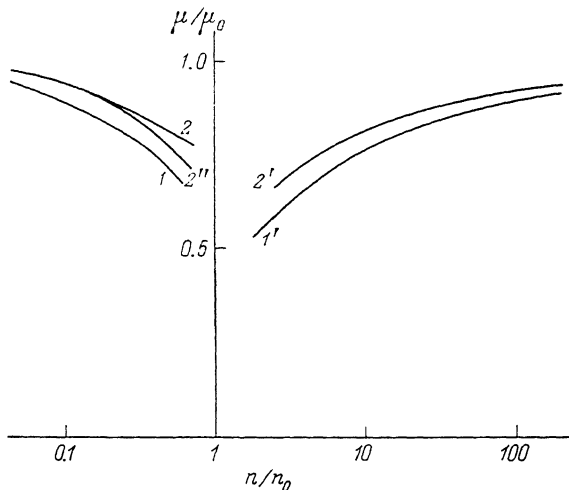


Рис. 2. Концентрационные зависимости подвижности $2D$ -электронов в невырожденном ($1, 2, 2''$) и вырожденном ($1', 2'$) случаях.

$T=77 \text{ К}$, $n_0=10^{11} \text{ см}^{-2}$; $1, 1'$ — PbTe; $2, 2', 2''$ — GaAs.

ладающим является рассеяние на оптических фононах, обсуждаются в [7, 8] на примере структуры GaAs—AlGaAs с квантовой ямой.

В заключение заметим, что в трехмерном случае имеет место качественно такая же концентрационная зависимость подвижности. При этом минимум оказывается в области концентраций, когда плазменная частота сравнивается с частотой затравочных оптических фононов. В двумерном случае ситуация является более сложной, так как затравочная плазменная ветвь спектра имеет сильную дисперсию, а влияние кулоновского взаимодействия более существенно.

Список литературы

- [1] Kim M. E., Das A., Senturia S. D. // Phys. Rev. B. 1978. V. 18. N 12. P. 6890—6899.
- [2] Касиян А. И., Руссу П. И. // ФТП. 1981. Т. 15. В. 10. С. 1965—1969; 1983. Т. 17. В. 2. С. 346—348.
- [3] Кумекон С. Е., Перель В. И. // ФТП. 1982. Т. 16. В. 11. С. 2001—2006.
- [4] Kasiyan A. I., Russu P. I. // Phys. St. Sol. (b). 1985. V. 129. N 1. P. 439—447.
- [5] Sarma S. Das, Mason B. A. // Phys. Rev. B. 1985. V. 31. N 8. P. 5536—5538.
- [6] Lyon S. A., Yang C. H. // Bull. Am. Phys. Soc. 1985. V. 30. P. 208.
- [7] Lei X. L., Birmon J. L., Ting C. H. // J. Appl. Phys. 1985. V. 56. N 6. P. 2270—2279.
- [8] Lei X. L. // J. Phys. C. 1985. V. 18. N 20. P. L593—L597.
- [9] Брыксин В. В., Фирсов Ю. А. // ФТТ. 1981. Т. 13. В. 2. С. 496—503.
- [10] Климонтович Ю. Л. Кинетическая теория неидеального газа и неидеальной плазмы. М., 1975. 281 с.
- [11] Бойко И. И., Сиренко Ю. Н. // Препринт ИП АН УССР. Киев, 1988. № 2-88. 36 с.
- [12] Займан Д. Электроны и фотоны. М., 1962. 488 с.

Кишиневский политехнический институт им. С. Лазо

Получена 20.04.1990
Принята к печати 14.12.1990